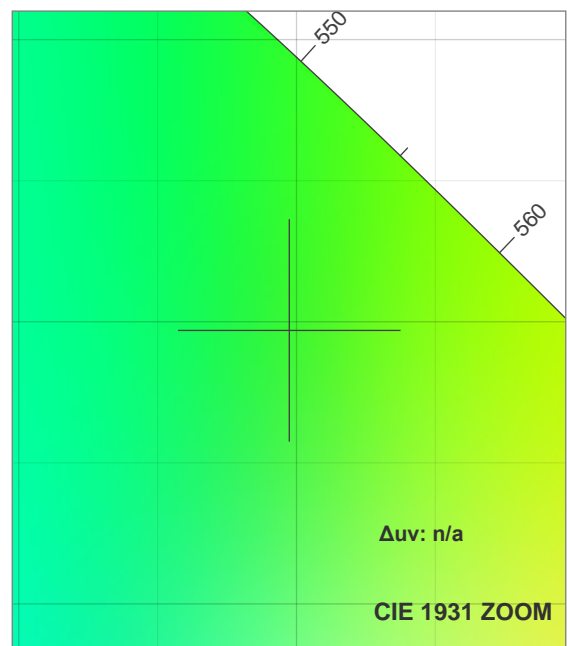
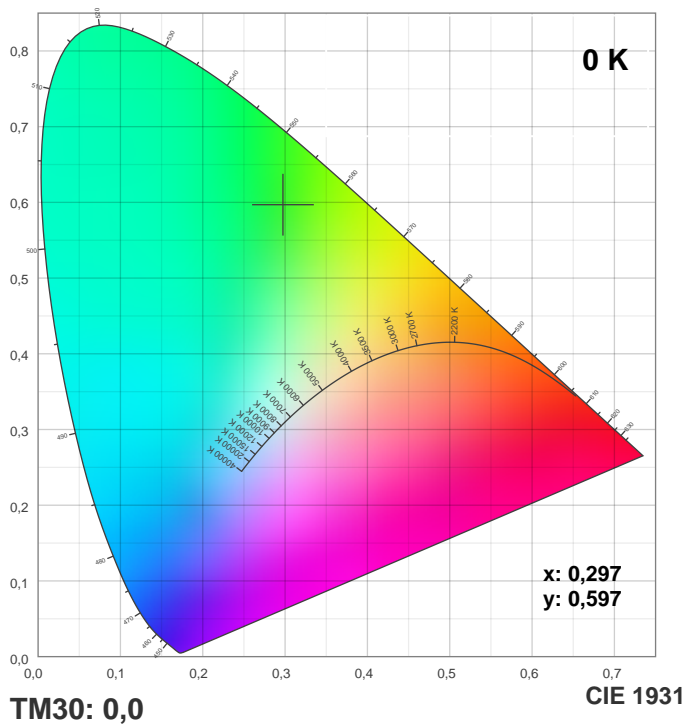


93,8°

A spectral power distribution graph showing a broad, continuous peak across the visible spectrum. The x-axis represents wavelength in nanometers, ranging from 400 to 800 nm. The y-axis represents relative power. The curve is filled with a rainbow color gradient, starting with blue at the lower wavelength end, transitioning through green and yellow, and ending with red at the higher wavelength end. The peak is centered around 550 nm.

Spannung: 24,0 V
Strom: 0,100 A
Frequenz: 0 Hz



CRI: 0,0 (R1-R8)

0	0	0	0	0	0	0	0	0	0	0	0	0	0	0	0
C1	C2	C3	C4	C5	C6	C7	C8	C9	C10	C11	C12	C13	C14	C15	C16

0	0	0	0	0	0	0	0	0	0	0	0	0	0	0	0
R1	R2	R3	R4	R5	R6	R7	R8	R9	R10	R11	R12	R13	R14	R15	

CRI R-Werte, nur R1-R8 werden zur Berechnung des endgültigen CRI-Wertes verwendet

R1	R2	R3	R4	R5	R6	R7	R8	R9	R10	R11	R12	R13	R14	R15
0,0	0,0	0,0	0,0	0,0	0,0	0,0	0,0	0,0	0,0	0,0	0,0	0,0	0,0	0,0

TM30 C-Werte, 16 eingelagerte Werte von insgesamt 99 C-Werten

C1	C2	C3	C4	C5	C6	C7	C8	C9	C10	C11	C12	C13	C14	C15	C16
0,0	0,0	0,0	0,0	0,0	0,0	0,0	0,0	0,0	0,0	0,0	0,0	0,0	0,0	0,0	0,0

Farbparameter

Farbtemperatur CCT	CRI-Wert rendering CRI	Rotanteil R9 CRI R9	Farbtreue TM30 Rf	Farbbereich TM30 Rg
0 K	0,0	0,0	0,0	0,0

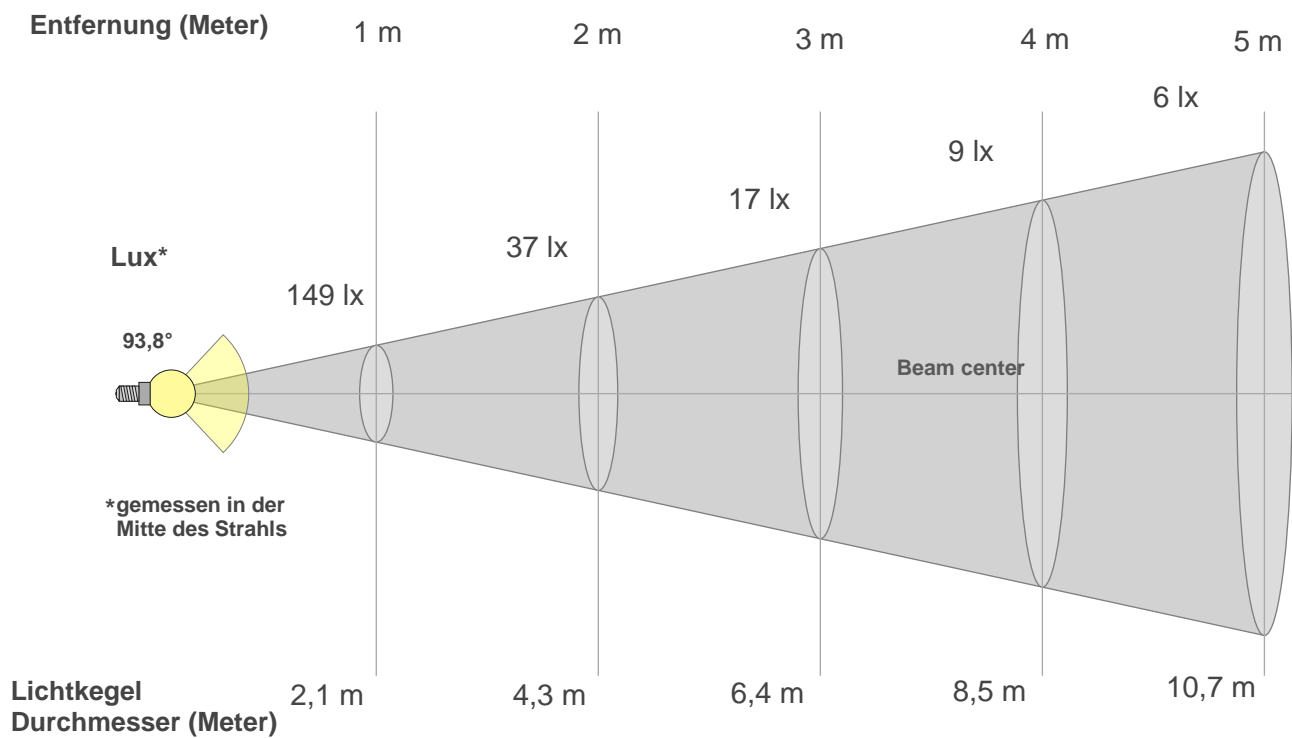
TM30 Details



Grafiken mit Farbverzerrung



Lichtstrahl Details



Strahlintensitäten von 1-20m

1m	2m	3m	4m	5m	6m	7m	8m	9m	10m	3,3m	6,6m	9,8m	13,1m	16,4m	19,7m	23m	26,2m	29,5m	32,8m
149lx	37lx	17lx	9lx	6lx	4lx	3lx	2lx	2lx	1lx	13,9lx	3,5lx	1,5lx	0,9lx	0,6lx	0,4lx	0,3lx	0,2lx	0,2lx	0,1lx

Glare Evaluation According to UGR

p Decke		70	70	50	50	30	70	70	50	50	30
p Wand		50	30	50	30	30	50	30	50	30	30
p Boden		20	20	20	20	20	20	20	20	20	20
Raumgrößen X Y		Blickrichtung rechtwinklig zur Lampenachse					Blickrichtung parallel zur Lampenachse				
2H	2H	23,6	24,7	23,8	25,1	25,3	23,6	24,7	23,8	25,1	25,3
	3H	24,8	26,0	25,3	26,3	26,5	24,8	26,0	25,3	26,3	26,5
	4H	25,4	26,5	25,8	26,8	27,1	25,4	26,5	25,8	26,8	27,1
	6H	25,8	26,8	26,2	27,1	27,5	25,8	26,8	26,2	27,1	27,5
	8H	25,9	26,9	26,3	27,2	27,7	25,9	26,9	26,3	27,2	27,7
	12H	26,0	26,9	26,4	27,3	27,8	26,0	26,9	26,4	27,3	27,8
4H	2H	24,1	25,2	24,5	25,5	25,8	24,1	25,2	24,5	25,5	25,8
	3H	25,7	26,6	26,1	27,0	27,4	25,7	26,6	26,1	27,0	27,4
	4H	26,3	27,1	26,7	27,6	28,1	26,3	27,1	26,7	27,6	28,1
	6H	26,8	27,6	27,3	28,0	28,3	26,8	27,6	27,3	28,0	28,3
	8H	26,9	27,7	27,4	28,1	28,5	26,9	27,7	27,4	28,1	28,5
	12H	27,0	27,7	27,5	28,1	28,6	27,0	27,7	27,5	28,1	28,6
8H	4H	26,5	27,3	27,0	27,6	28,0	26,5	27,3	27,0	27,6	28,0
	6H	27,2	27,7	27,7	28,2	28,8	27,2	27,7	27,7	28,2	28,8
	8H	27,4	27,9	28,0	28,5	29,1	27,4	27,9	28,0	28,5	29,1
	12H	27,6	28,0	28,2	28,6	29,2	27,6	28,0	28,2	28,6	29,2
12H	4H	26,5	27,1	27,0	27,6	28,1	26,5	27,1	27,0	27,6	28,1
	6H	27,2	27,7	27,8	28,3	28,9	27,2	27,7	27,8	28,3	28,9
	8H	27,5	27,9	28,1	28,4	29,1	27,5	27,9	28,1	28,4	29,1
Variation der Beobachterposition für den Leuchtenabstand S											
S = 1.0H		0,1 / -0,1					0,1 / -0,1				
S = 1.5H		0,2 / -0,3					0,2 / -0,3				
S = 2.0H		0,5 / -0,6					0,5 / -0,6				
Standard-Tabelle		n/a					n/a				
Korrektur Zusammenfassung		n/a					n/a				
Korrigierte Blendungsindizes bezogen auf 351 lm Gesamtlichtstrom											